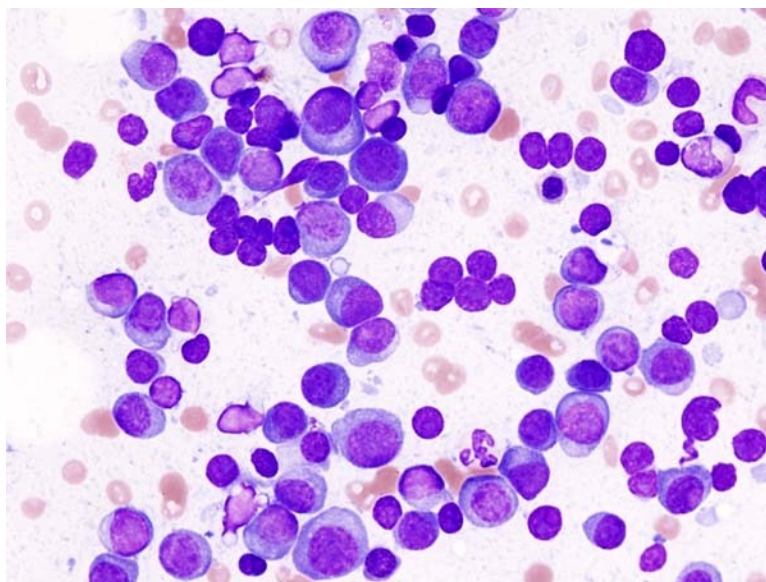


RCEME Bizkaia

# Cáncer de tejidos hematopoyéticos y linfoides en Bizkaia. 1986-2013.

(ICD 10: C81-95; D45-47)

Informe correspondiente al primer trimestre de 2017



**Mieloma múltiple.** Extensión de médula osea; tinción de May-Grünwald

## Preámbulo

*Las características de los cánceres hematológicos (referido al conjunto de cánceres de tejidos hematológicos y linfoides) suponen un reto para los registros de cáncer. El diagnóstico y tratamiento de estos tumores se suele realizar en circuitos sanitarios diferentes al del resto de tumores y habitualmente ésto retrasa su registro.*

*Por otro lado, se han producido incesantes avances en la caracterización de estos tumores, lo cual ha repercutido en su clasificación; en los últimos años se han modificado los criterios de clasificación en la tercera versión de la Clasificación Internacional de Enfermedades Oncológicas (CIE-O-3) y el sistema de clasificación empleado por el Registro de Cáncer (RC).*

*Por los motivos expuestos, la información recogida por el RC respecto de estos tumores corre riesgo de no ser completa y ha de tenerse en cuenta a la hora de interpretar los datos que a continuación se presentan.*

*Con el fin de facilitar las comparaciones, hemos seguido los criterios de clasificación empleados por la International Agency for Research on Cancer (IARC). Hemos convertido los códigos de la CIE-O3 a la CIE-10 mediante los programas de conversión facilitados por la IARC.*

*La IARC clasifica los cánceres hematológicos de la siguiente manera:*

- C81: Linfomas Hodgkin
- C82-85, C96: Linfomas no Hodgkin
- C88, C90: Mieloma múltiple y enfermedades inmunoproliferativas
- C91-95: Leucemias

*Fuera de esta clasificación quedan otras enfermedades que a partir de 2003 se registran como casos de cáncer: Policitemia vera (D45), Síndromes mielodisplásicos (D46) y otras neoplasias de comportamiento incierto o desconocido del sistema linfático, hematopoyético y tejidos relacionados (D47). Estos últimos se describen aparte al final del documento.*

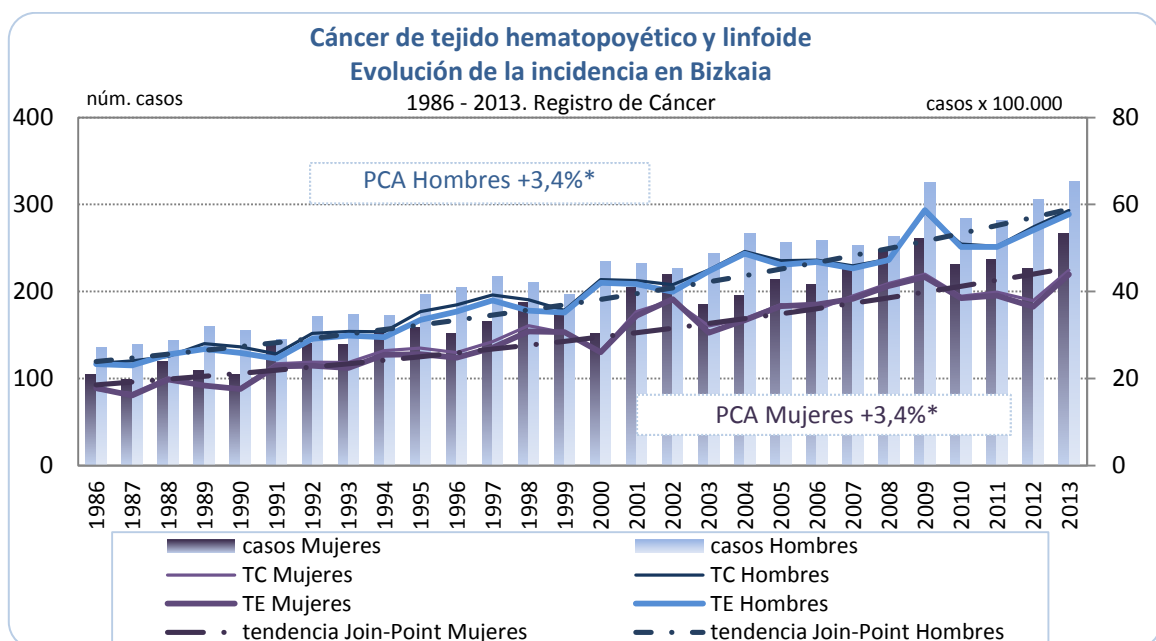
# Cáncer hematológico en Bizkaia

## INCIDENCIA, PREVALENCIA Y MORTALIDAD

Desde el establecimiento del Registro de Cáncer de Euskadi (RCE) hasta el último año con datos completos disponible, esto es, de 1986 a 2013, en la población de Bizkaia se han registrado 11200 cánceres de tejidos hematopoyéticos y linfoides; 3859 de los casos registrados constaban como vivos en la actualización de datos del año 2014.

En el último año registrado, 2013, la distribución por sexos fue la habitual: 326 casos (55%) en hombres, y 267 casos en mujeres (45%). Los cánceres de tejido hematopoyético y linfoide supusieron el 7,7% de los cánceres registrados en 2013.

En 2013 la tasa cruda de incidencia fue de 51,53 casos/100.000 habitantes; 58,65 casos/100.000 en hombres y 44,88 casos/100.000 en mujeres. Analizando la evolución de la incidencia mediante el método de regresión JoinPoint se observa una tendencia ascendente; el Porcentaje de Cambio Anual (PCA) en ambos sexos es de 3,4%.



Tasa Estándar (Población de la CAPV); PCA: Porcentaje de Cambio Anual. (\*: Estadísticamente significativo)

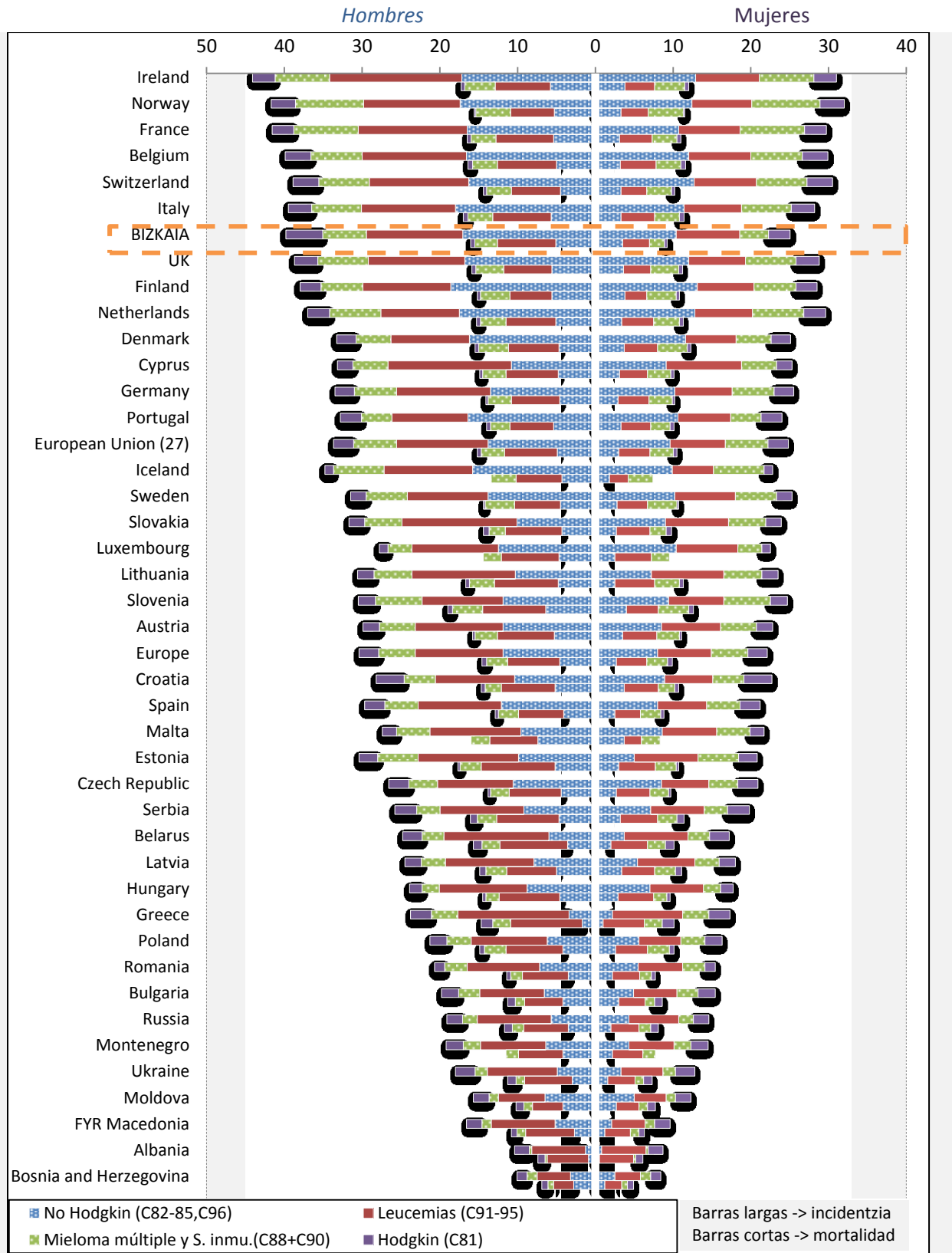
Se estandarizan las tasas a la población europea para establecer una comparación con otros países: 39,83 casos/100.000 en hombres y 25,04 en mujeres (dato correspondiente a 2012 para compararlo)

con el publicado en EUCAN). En las siguientes gráficas comparamos las tasas de Bizkaia con las de los países europeos.

### Incidencia y mortalidad por cánceres de tejido hematopoyético y linfoide

Tasa de los países europeos y Bizkaia. 2012.

Tasa estandar por 100 000 habitantes ; todas las edades.



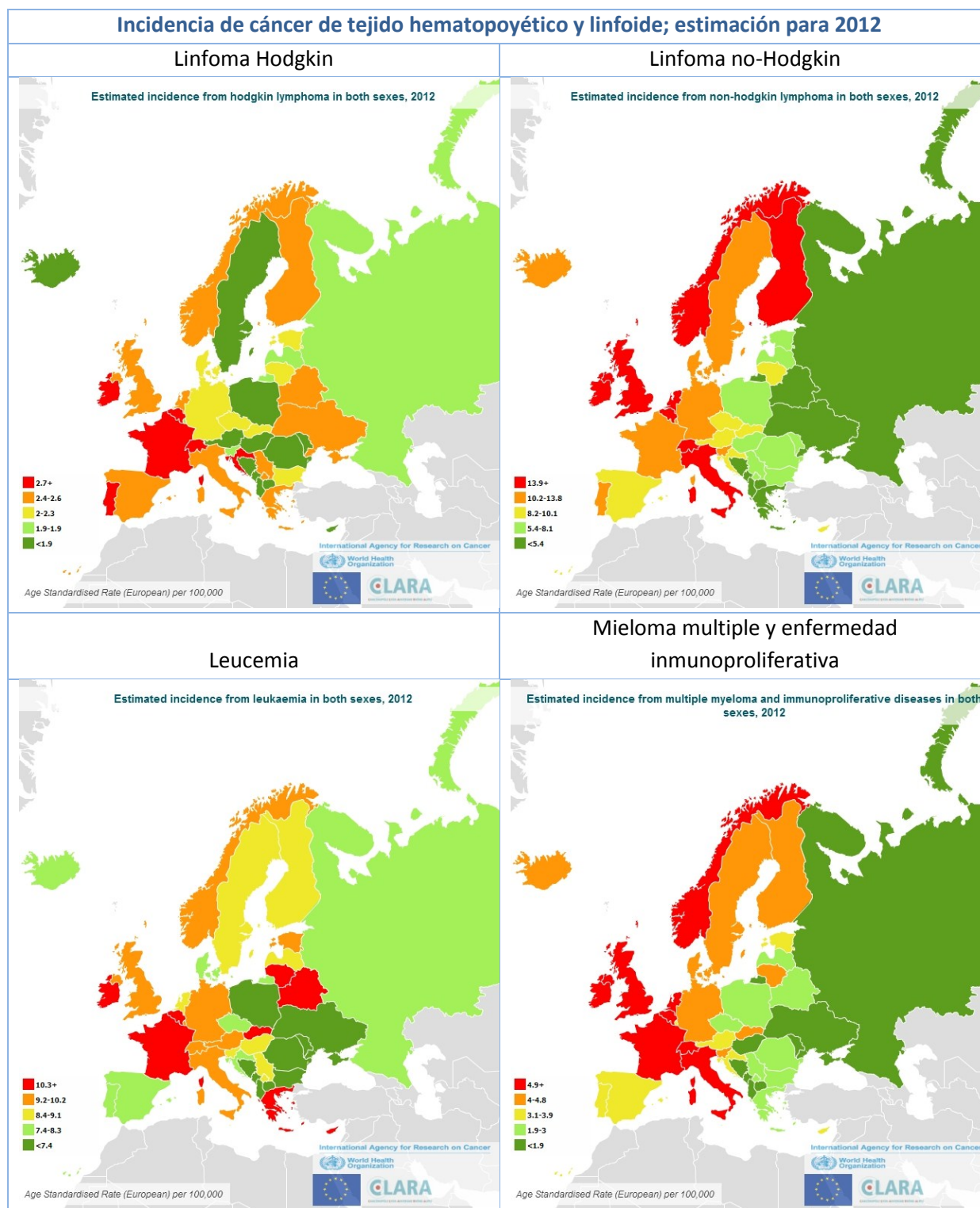
Fuente: EUCAN (IARC/OMS). Proyecciones de incidencia para 2012. Población de referencia: Europa.

Datos de Bizkaia: Registro de Cáncer y Registro de mortalidad de Euskadi (año 2012, tasas ajustadas a la población europea)

En los siguientes mapas mostramos la distribución de las tasas de incidencia de tumores hematopoyéticos y linfoides estimadas para 2012. Al comparar los datos de Bizkaia con estas estimaciones, se observa que se sitúan en los niveles altos.

Tasas de Bizkaia en 2012 ajustadas a la población europea (x100.000)

CIE-10	TE hombres	TE mujeres	TE total
Linfomas Hodgkin: C81	4,73	2,77	3,80
Linfomas no Hodgkin: C82-85, C96	17,07	10,38	13,64
Mieloma múltiple y enfermedades inmunoproliferativas: C88, C90	5,62	3,69	4,47
Leucemias: C91-95	12,41	8,2	10,14



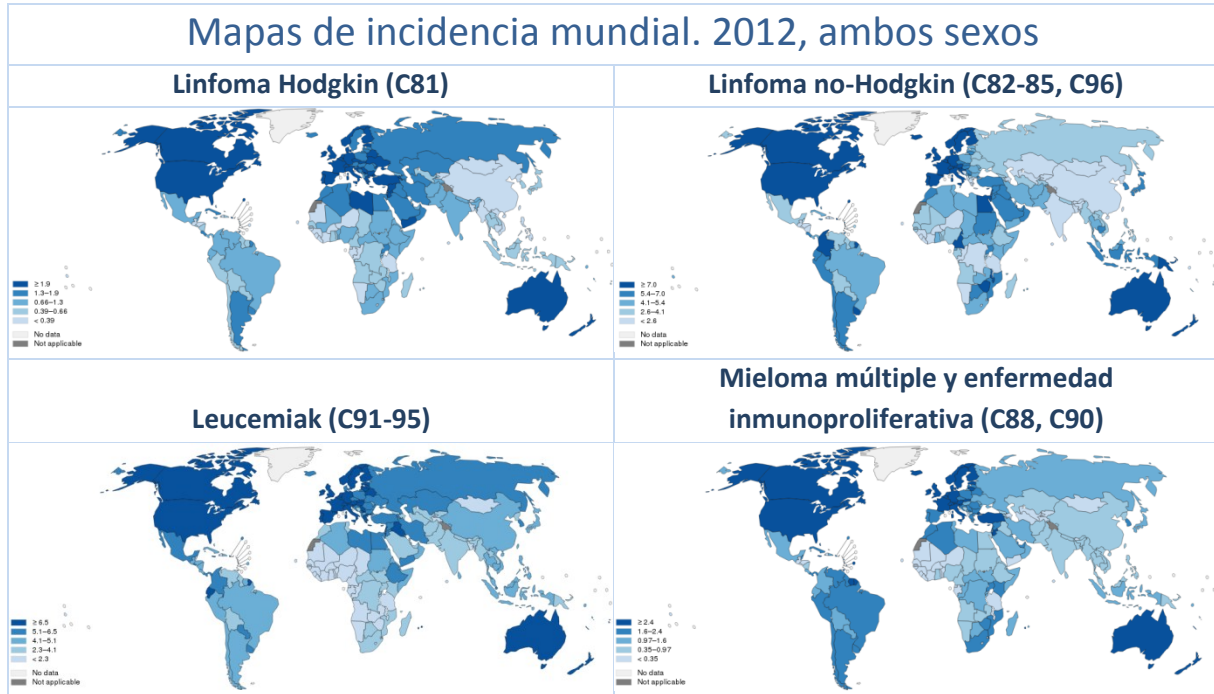
Fuente: EUCAN (OMS). Proyecciones de incidencia para 2012. Tasas estándar (población de ref.: Europa).

Al ajustar las tasas de Bizkaia a la población mundial se obtienen los siguientes datos:

Tasas de Bizkaia en 2012 ajustadas a la población mundial <sup>(x100.000)</sup>

CIE-10	TE hombres	TE mujeres	TE total
<b>Linfomas Hodgkin: C81</b>	4,55	3,04	3,84
<b>Linfomas no Hodgkin: C82-85, C96</b>	12,11	7,77	9,99
<b>Mieloma múltiple y enfermedades inmunoproliferativas: C88, C90</b>	3,69	2,51	3,00
<b>Leucemias: C91-95</b>	8,93	7,16	8,09

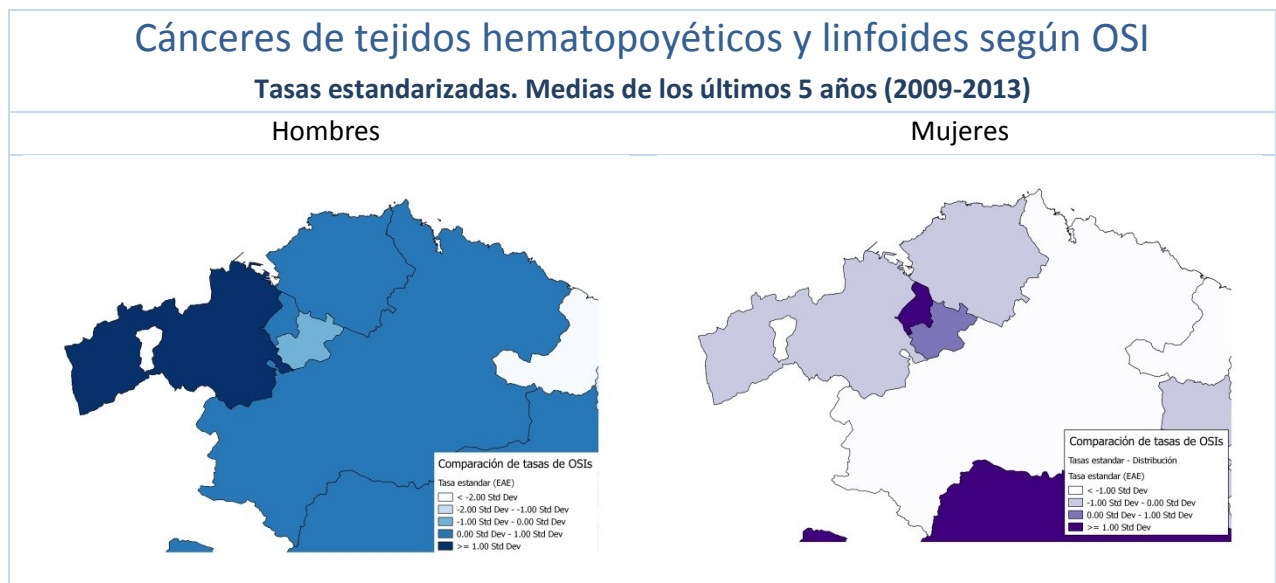
En los siguientes mapas se muestran las tasas de incidencia por país.



Fuente: GLOBOCAN (OMS). Proyecciones de incidencia para 2012. Población de referencia: Mundo I  
 nota: las escalas de color de los mapas son diferentes

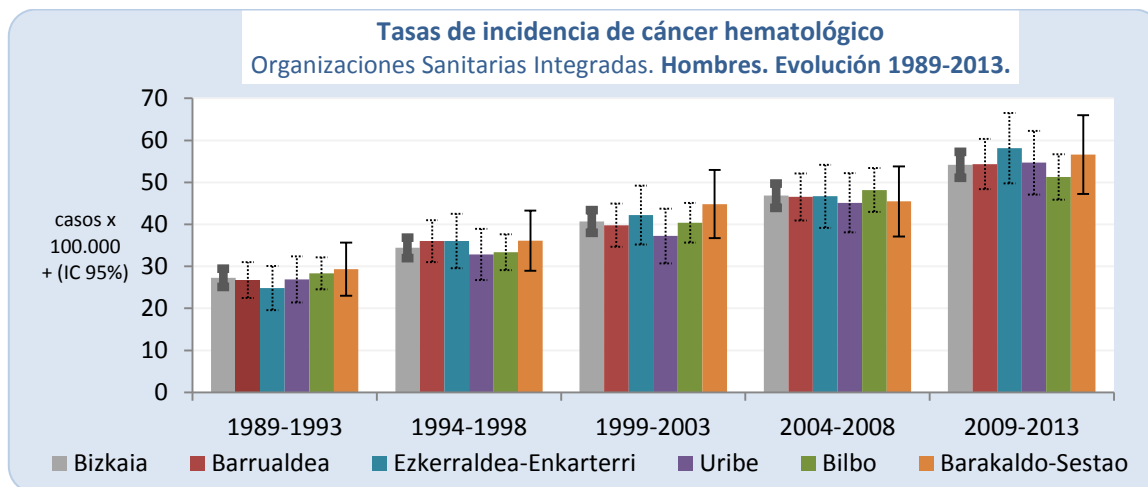
Para analizar la distribución espacial en Bizkaia hemos calculado las tasas correspondientes a las Organizaciones Sanitarias Integradas (OSI). Al tratarse de cifras pequeñas, para suavizar la inestabilidad de las tasa hemos calculado las medias quinquenales, la correspondiente a los últimos años la representamos en los siguientes mapas.

Al ajustar las tasas a la población de la CAPV, las más altas en hombres aparecen en Ezkerraldea-Enkarterri-Cruces y en mujeres en Barakaldo-Sestao.

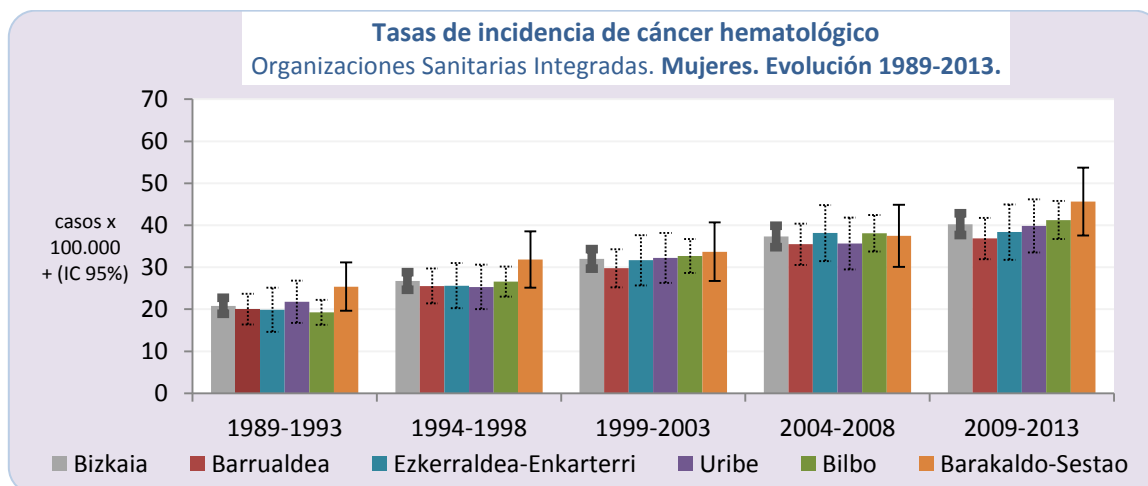


Fuente: Registro de Cáncer. 2009-2013 medias anuales de las tasas estandarizadas. Población de referencia: CAPV

Para analizar la evolución de las tasas en las OSIs hemos empleado también las medias quinquenales, Como se observa en el siguiente gráfico la evolución de las tasas ha sido ascendente en toda Bizkaia. A lo largo de los últimos 25 años las tasas se han duplicado, tanto en hombres como en mujeres. Al comparar las OSIs entre sí, no se observan diferencias ni tendencias estadísticamente significativas. Son congruentes con la evolución general.



RCE – datos del Registro de Cáncer de Euskadi; Tasas  $\pm$  desviación estándar; Tasas estandarizadas, medias quinquenales. Población de referencia: hombres de la CAV 1989-2013 (EUSTAT)



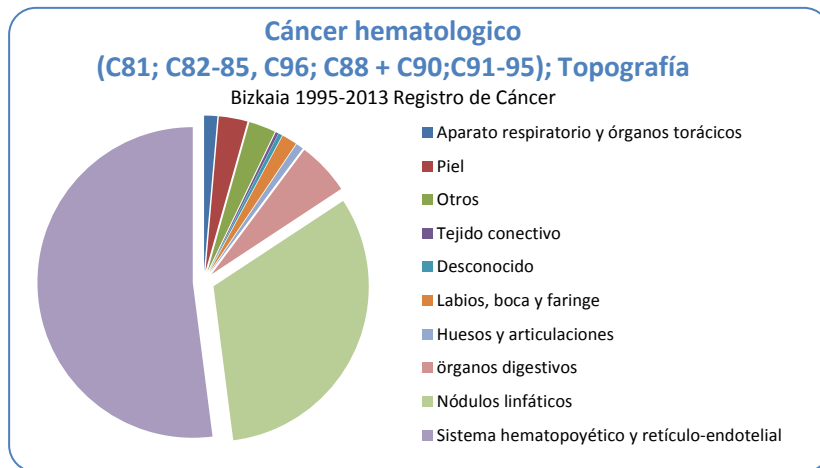
RCE – datos del Registro de Cáncer de Euskadi; Tasas  $\pm$  desviación estándar; Tasas estandarizadas, medias quinquenales. Población de referencia: hombres de la CAV 1989-2013 (EUSTAT)

En el siguiente gráfico mostramos la distribución de los casos registrados en Bizkaia por grupos de edad quinquenales. Las tasas específicas más altas se dan en personas mayores, pero hay casos en todos los rangos de edad; también en niños.



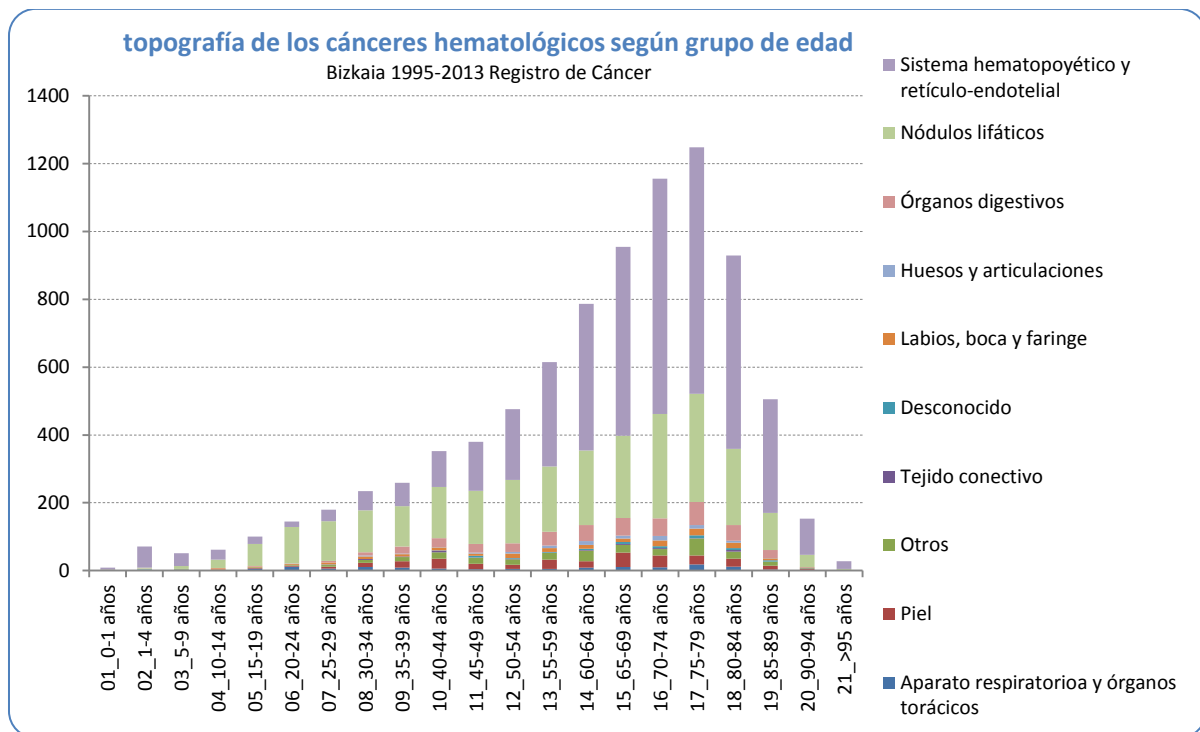
\*Tasas específicas por grupo de edad, media de las tasas específicas correspondientes a los últimos cinco años registrados.

## TOPOGRAFÍA



En las localizaciones que se registran para estos tumores el sistema hematopoyético y retículo-endotelial aparece como la más frecuente (52%) y después los nódulos linfáticos (32%). En el aparato digestivo la localización principal es el estómago. Con respecto a la edad, entre los 0 y 14 años y en mayores de 50 la localización principal

es el sistema hematopoyético y retículo-endotelial; entre los 15 y 49 años la localización principal son los nódulos linfáticos. No se observan diferencias entre hombres y mujeres.



## MORFOLOGÍA TUMORAL

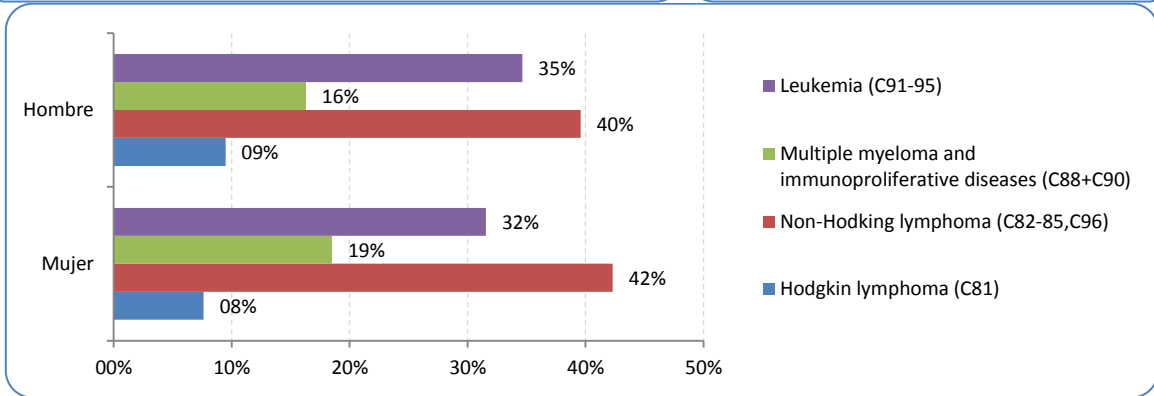
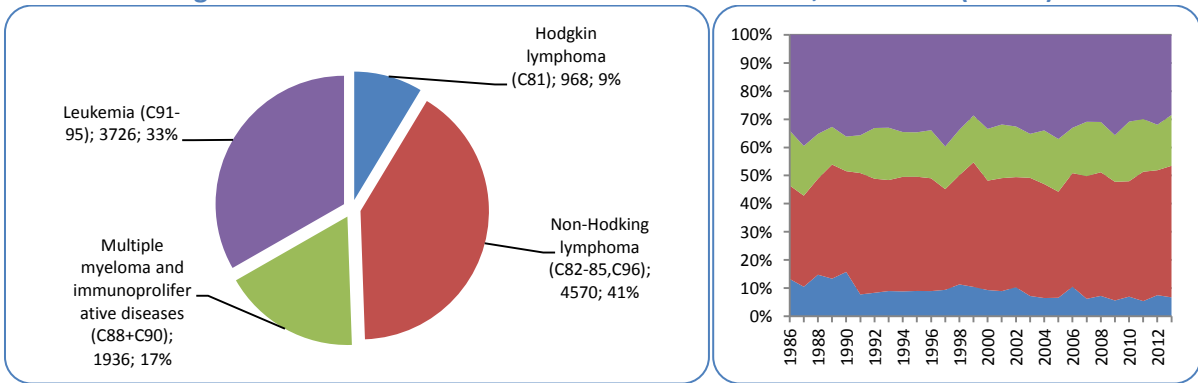
La morfología de los cánceres hematológicos es muy heterogénea, no hay un predominio claro de unas enfermedades sobre otras. Los linfomas no Hodgkin son los más frecuentes (20%), sobre todo los de células grandes. Tras éstos están las leucemias linfoides (17%) y los mielomas múltiples y neoplasias malignas de células plasmáticas (16%).

En los siguientes gráficos presentamos las distribuciones según los diferentes sistemas de clasificación disponibles y su evolución. Estas clasificaciones son las propuestas por la OMS: por un lado está la clasificación general de las enfermedades (CIE-10) y, por otro lado, la clasificación de enfermedades oncológicas desarrollada específicamente para los registros de cáncer (CIE-O-3). Las agrupaciones que se presentan son las habitualmente empleadas por la OMS.

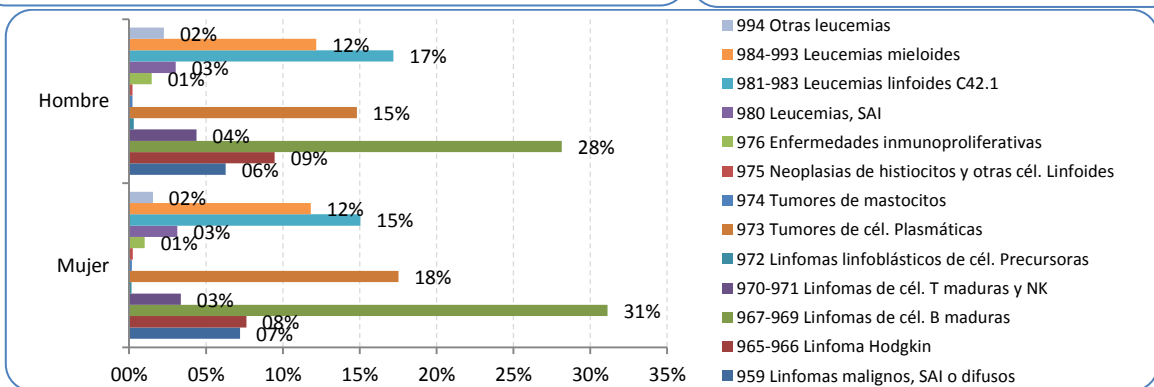
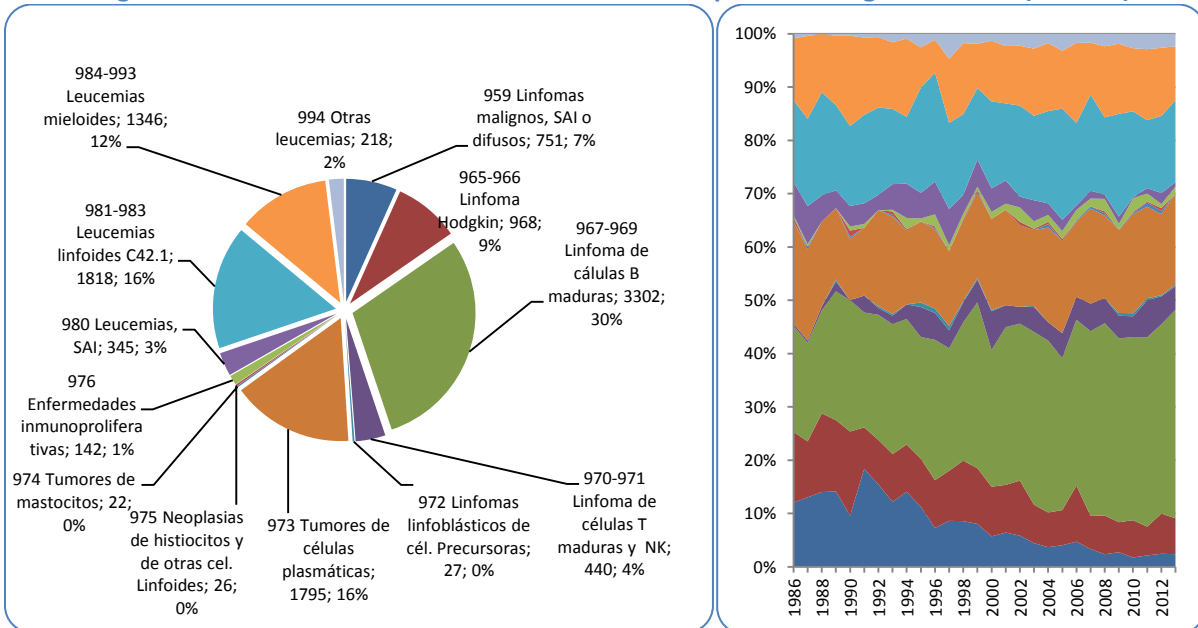
# Morfología de los cánceres hematológicos; distribución y evolución

Bizkaia 1986-2013 Registro de cáncer

Según la Clasificación Internacional de Enfermedades, versión 10 (CIE-10)



Según Clasificación Internacional de Enfermedades para Oncología versión 3 (CIE-O-3)



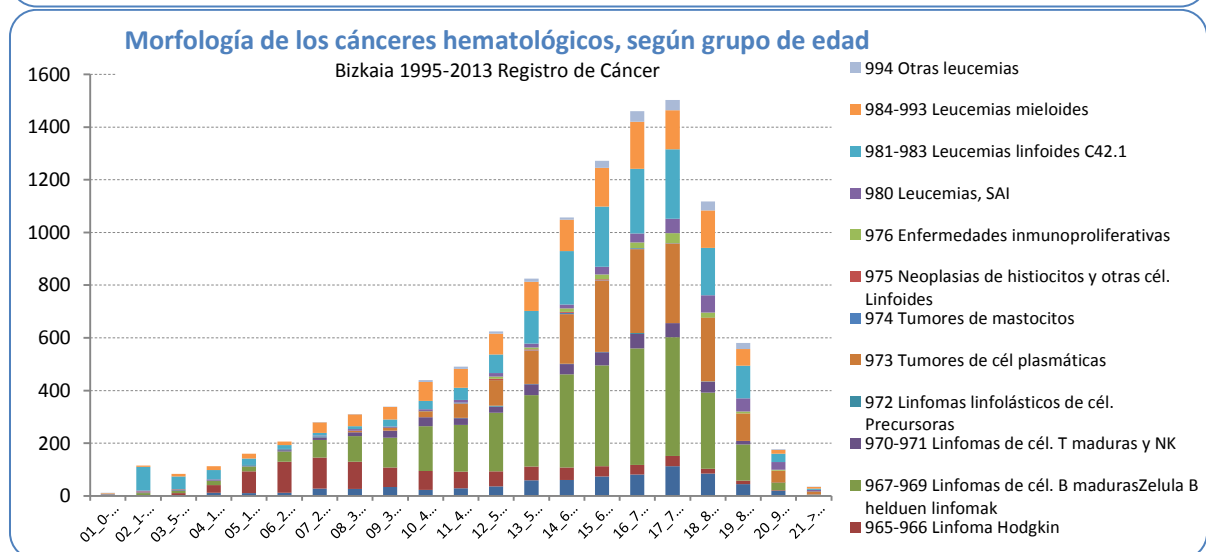
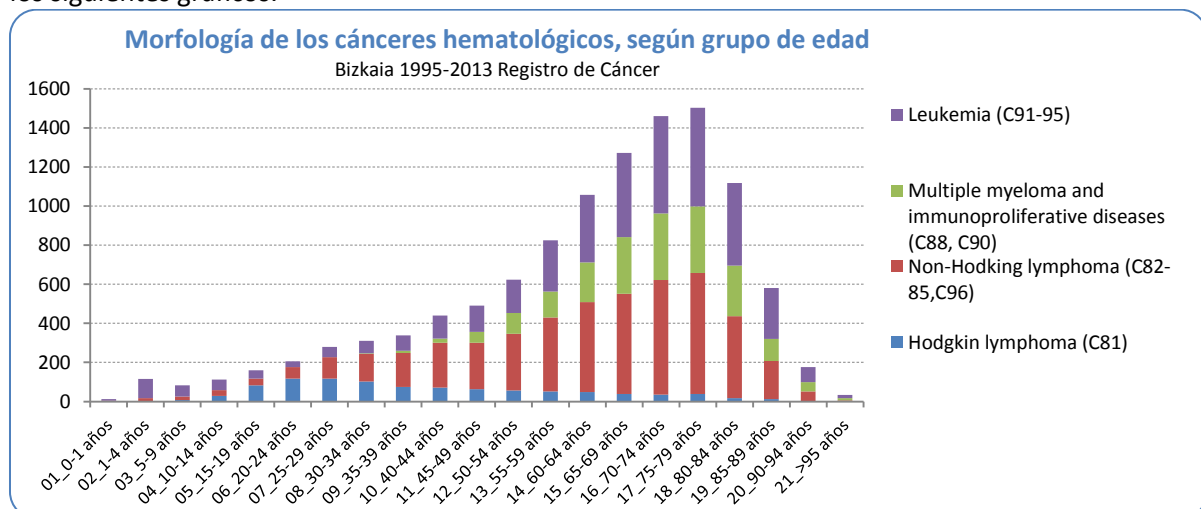
## Morfología de cáncer hematológico.

Registro de Cáncer Bizkaia 1986-2013

Morfología	Núm. casos	%
'Hodgkin linfoma (C81)'	968	8.6%
965-966 Linfoma Hodgkin	968	8.6%
'Non-Hodgkin linfoma (C82-85,C96)'	4570	40.8%
959 Linfoma maligno, SAI o difuso	751	6.7%
967-969 Linfoma de cél. B maduras	3302	29.5%
970-971 Linfoma de cél. T maduras y NK	440	3.9%
972 Linfoma linfoblástico de cél. precursora	27	0.2%
973 Tumor de cél. plasmáticas	2	0.0%
974 Tumor de mastocitos	22	0.2%
975 Neoplasia de histiocitos y de otras cél linfoides	25	0.2%
984-993 Leucemias mieloides	1	0.0%
Mieloma múltiple y enfermedades inmunoproliferativas (C88, C90)'	1936	17.3%
973 Tumores de cél. plasmáticas	1793	16.0%
975 Neoplasia de histiocitos y de otras cél linfoides	1	0.0%
976 Enfermedades inmunoproliferativas	142	1.3%
'Leucemia (C91-95)'	3726	33.3%
980 Leucemias, SAI	345	3.1%
981-983 Leucemias linfoides C42.1	1818	16.2%
984-993 Leucemias mieloides	1345	12.0%
994 Otras leucemias	218	1.9%
<b>Total</b>	<b>11200</b>	<b>100.0%</b>

Anexos a este informe se ofrecen datos más precisos sobre las morfologías tumorales registradas. En la tabla anexa se ofrecen la morfología de los tumores registrados en Bizkaia desde 1986 a 2013.

Se observan diferencias en la distribución de las morfologías según edad, tal y como mostramos en los siguientes gráficos.



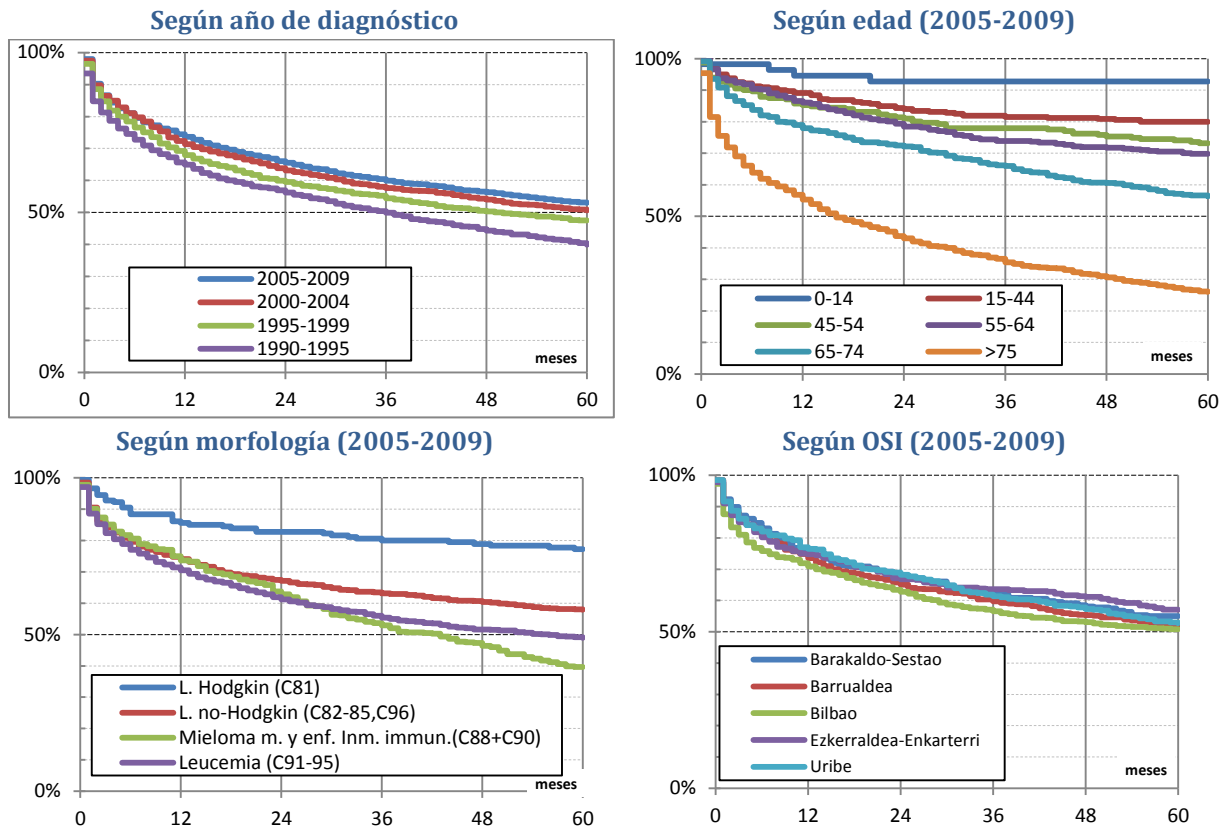
## SUPERVIVENCIA

Se ha analizado la supervivencia incluyendo solo los casos con al menos 5 años de seguimiento. Los fallecimientos registrados no son causa-específicos, se recogen todos los fallecimientos independientemente de la causa.

Se observa una mejora en la supervivencia con los años; la supervivencia a 5 años pasa del 40% en el primer periodo (1990-1994) a más del 50% en el último. En función de la edad y la morfología también se aprecian diferencias notables en la supervivencia, sin embargo no se aprecian diferencias entre Organizaciones Sanitarias Integradas.

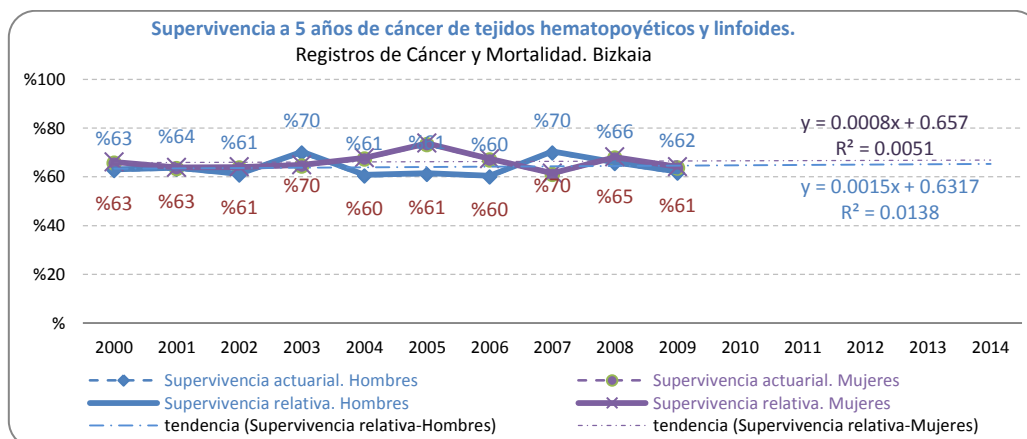
### Cáncer de tejidos hematopoyéticos y linfoides. Supervivencia (Kaplan-Meier)

Bizkaia. Registro de Cáncer.



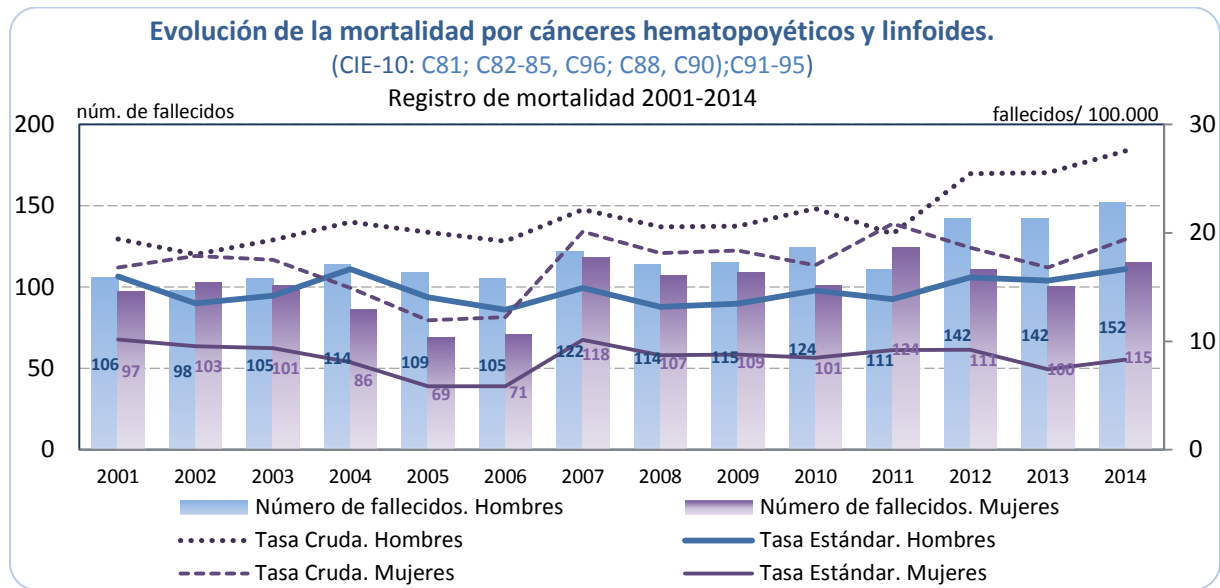
Para el siguiente gráfico hemos calculado la esperanza de vida actuarial y la relativa a partir del año 2000. En este periodo la supervivencia está por encima del 60%.

La supervivencia relativa y actuarial es casi idéntica, al ocurrir los casos en todas las edades la influencia de la mortalidad por otras causas es pequeña.



## MORTALIDAD

En el gráfico mostramos los fallecimientos registrados por cánceres hematológicos con sus correspondientes tasas estandarizadas. La mortalidad los fallecidos registrados con los siguientes códigos: C81; C82-85, C96; C88, C90); C91-95.

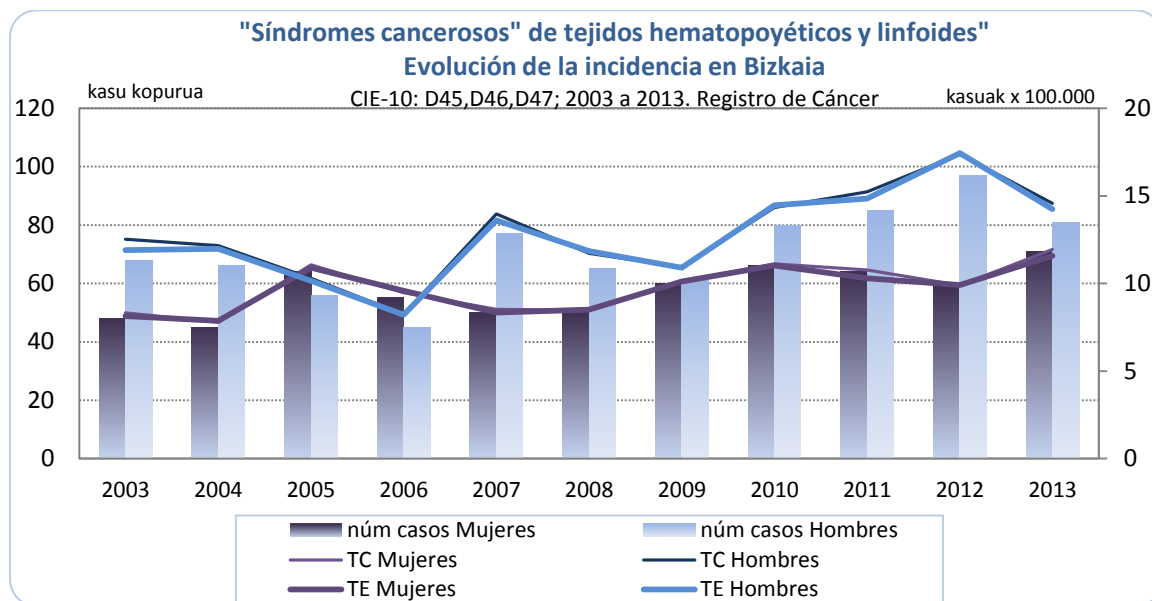


Tasa estándar (ajustado a la población europea de 1997)

## POLICITEMIA VERA (D45), SÍNDROMES MIELODISPLÁSICOS (D46) Y OTROS SÍNDROMES DE COMPORTAMIENTO INCIERTO DE TEJIDOS LINFOIDES Y OTROS TEJIDOS RELACIONADOS (D47)

Estas enfermedades consideradas en principio como de "comportamiento incierto", ahora se consideran como cáncer. Este cambio se hace efectivo en el Registro de Cáncer a partir de 2003. Al no disponer del seguimiento de estos casos por todo el periodo de registro, se analizan por separado.

De 2003 a 2013, en el Registro de cáncer se han registrado 1419 casos en Bizkaia. En el último año registrado, 2013, hay 152 casos, 81 en hombres y 71 en mujeres. Si se añadiesen éstos casos al resto de tumores hematológicos, supondrían el 20% de los mismos.

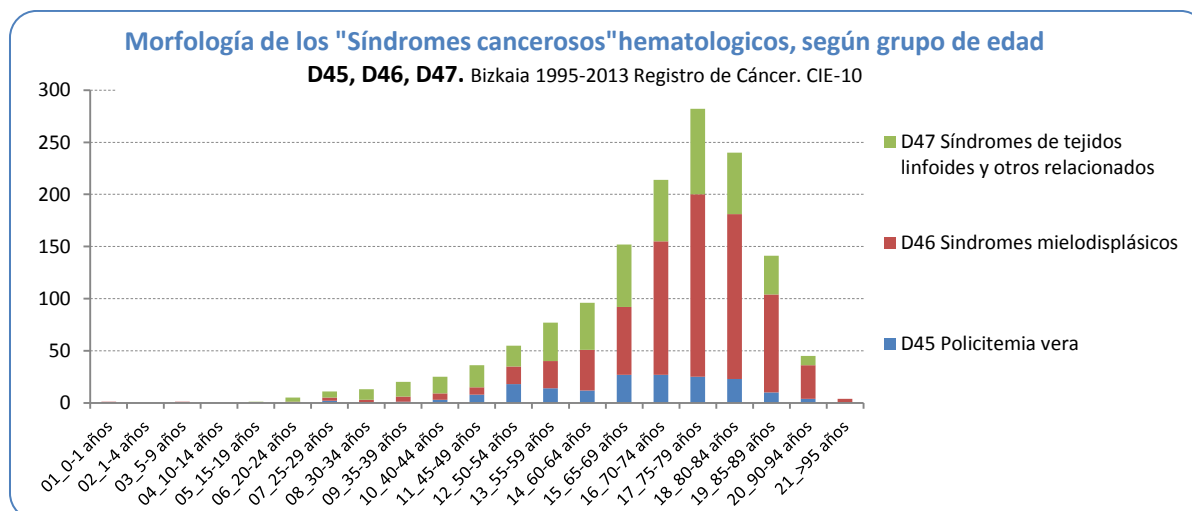


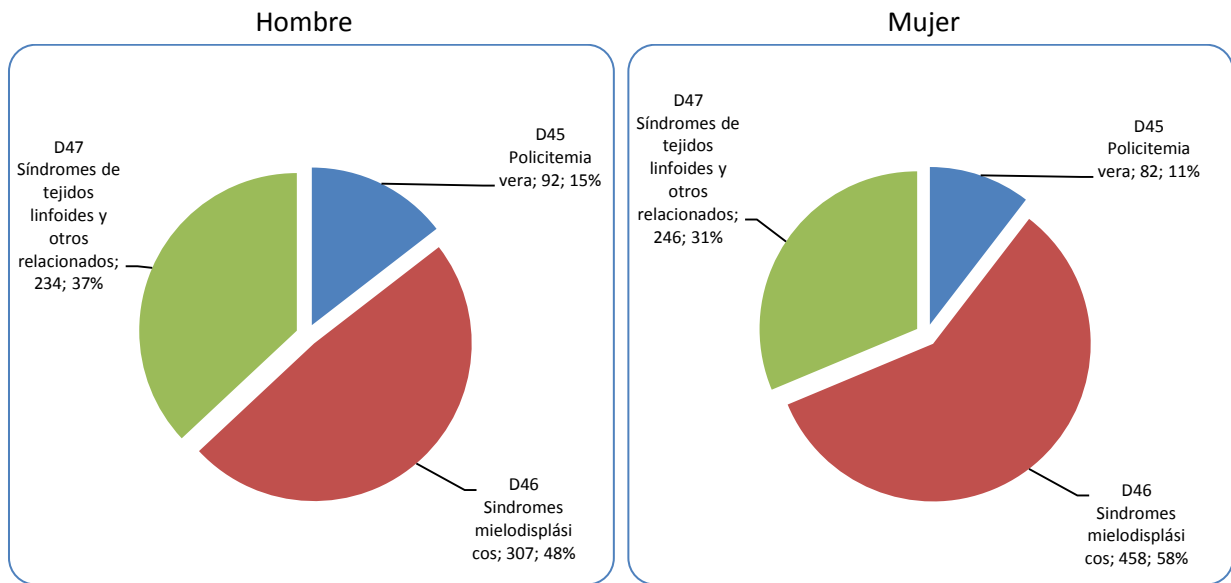
### EXTENSIÓN, DIFERENCIACIÓN Y MORFOLOGÍA TUMORAL

Por las características específicas de estos tumores no tiene sentido analizar extensión y diferenciación.

### Morfología

En los siguientes gráficos mostramos la distribución de las morfologías por sexo y edad.





Las morfologías específicas en la siguiente tabla:

### Morfología de los “Síndromes cancerosos” hematológicos.

Registro de Cáncer, Bizkaia 2003-2013

Morfología	Núm casos	%
<b>D45</b>	<b>173</b>	<b>8.6%</b>
D45 <i>Polycytemia vera</i>	173	12.24%
<b>D46</b>	<b>762</b>	<b>53.93%</b>
D460 Refractory anemia without sideroblasts	108	7.64%
D461 RARS	86	6.09%
D462 RAEB II	133	9.41%
D463 RAEB-T	5	0.35%
D467 Myelodysplastic syndrome with 5q deletion (5q-) syndrome	27	1.91%
D467 Refractory cytopenia with multilineage dysplasia	166	11.75%
D 467 Therapy-related myelodysplastic syndrome, epipodophyllotoxin-related	9	0.64%
D469 Preleukemic syndrome	228	16.14%
<b>D47</b>	<b>478</b>	<b>33.83%</b>
D471 Chronic myeloproliferative disorder	49	3.47%
D471 Myelofibrosis with myeloid metaplasia	71	5.02%
D473 Idiopathic hemorrhagic thrombocytopenia	351	24.84%
D477 Chronic eosinophilic leukemia	1	0.07%
D477 Chronic neutrophilic leukemia	1	0.07%
D479 Lymphoproliferative disease, NOS	2	0.14%
D479 Myeloproliferative disease, NOS	3	0.21%
<b>Total</b>	<b>1413</b>	<b>100.0%</b>

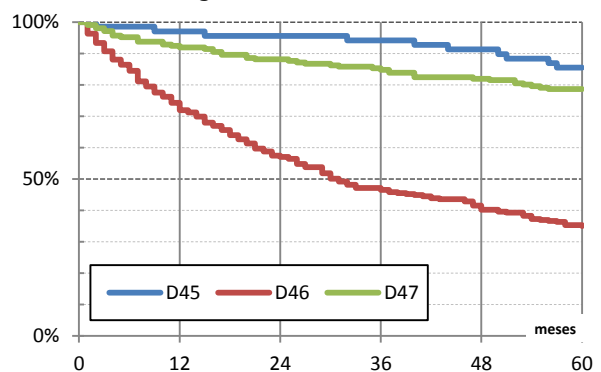
### SUPERVIVENCIA

En conjunto presentan una supervivencia similar al del resto de cánceres hematológicos, alrededor del 60% a los 5 años.

Al analizar la supervivencia por morfología, vemos como la supervivencia es peor para los síndromes mielodisplásicos (D46); menor del 40% a los 5 años.

### Supervivencia según morfología (2005-2009)

Registro de Cáncer, Bizkaia



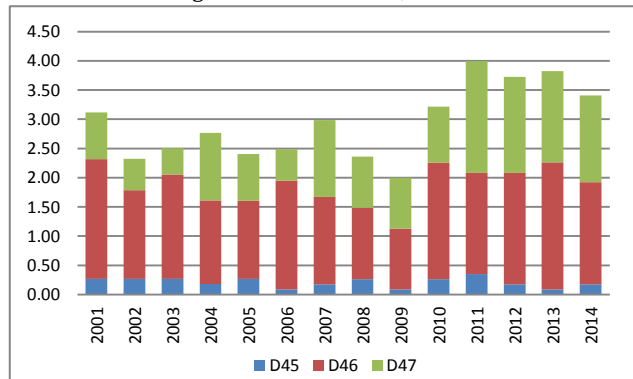
## MORTALIDAD

La tasa cruda de mortalidad del conjunto de estos cánceres se sitúa entre 2 y 4 fallecimientos por cada 100.000 habitantes.

Los síndromes mielodisplásicos (D46) son en los que más mortalidad registran, seguidos de los otros síndromes de comportamiento incierto de tejidos linfoides y otros tejidos relacionados (D47).

### Tasas crudas de mortalidad según morfología 2001-2014

Registro de Mortalidad, Bizkaia



# Anexo

## Morfologías de los casos registrados en Bizkaia según CIE-10\*

Morfología	Núm. Casos	Cruces	Basurto	Galdakao	San Eloy	Otros
<b>24.00 'Hodgkin lymphoma (C81)'</b>	<b>968</b>	<b>546</b>	<b>300</b>	<b>169</b>	<b>45</b>	<b>79</b>
C810 Nodular lymphocyte predominant Hodgkin lymphoma, unspecified site	88	52	28	11	3	7
C811 Nodular sclerosis Hodgkin lymphoma, unspecified site	464	288	115	101	23	38
C812 Mixed cellularity Hodgkin lymphoma, unspecified site	268	137	106	30	12	19
C813 Lymphocyte depleted Hodgkin lymphoma, unspecified site	53	23	23	9	1	4
C819 Hodgkin lymphoma, unspecified, unspecified site	95	46	28	18	6	11
<b>25.00 'Non-Hodgkin lymphoma (C82-85,C96)'</b>	<b>4570</b>	<b>2081</b>	<b>1322</b>	<b>874</b>	<b>272</b>	<b>491</b>
C820 Follicular lymphoma grade I, unspecified site	265	123	104	33	15	23
C821 Follicular lymphoma grade II, unspecified site	122	58	27	29	9	14
C822 Follicular lymphoma grade III, unspecified, unspecified site	129	67	32	25	7	14
C829 Follicular lymphoma, unspecified, unspecified site	420	176	117	78	29	53
C830 Small cell B-cell lymphoma, unspecified site	251	95	79	49	20	30
C833 Diffuse large B-cell lymphoma, unspecified site	1345	642	436	235	77	119
C835 Lymphoblastic (diffuse) lymphoma, unspecified site	28	16	6	4	2	3
C837 Burkitt lymphoma, unspecified site	99	64	21	15	3	3
C838 Other non-follicular lymphoma, unspecified site	384	162	101	89	25	41
C840 Mycosis fungoides, unspecified site	156	90	45	33	0	3
C841 Sezary disease, unspecified site	24	17	3	4	2	0
C844 Peripheral T-cell lymphoma, not classified, unspecified site	122	64	21	32	14	8
C849 Mature T/NK-cell lymphomas, unspecified, unspecified site	2	2	0	0	0	0
C84A Cutaneous T-cell lymphoma, unspecified, unspecified site	85	46	37	7	1	4
C859 Non-Hodgkin lymphoma, unspecified, unspecified site	752	291	171	150	43	143
C861 Hepatosplenic T-cell lymphoma	10	2	2	5	1	2
C862 Enteropathy-type (intestinal) T-cell lymphoma	40	11	16	12	2	3
C884 Extranodal marginal zone B-cell lymphoma of mucosa-associated lymphoid tissue [MALT-lymphoma]	289	131	92	60	19	27
C960 Multifocal and multisystemic (disseminated) Langerhans-cell histiocytosis	10	4	4	2	0	1
C962 Malignant mast cell tumor	23	9	5	9	2	0
C964 Sarcoma of dendritic cells (accessory cells)	3	3	0	1	1	0
C96A Histiocytic sarcoma	11	8	3	2	0	0
<b>26.00 'Multiple myeloma and immunoproliferative diseases (C88+C90)'</b>	<b>1936</b>	<b>854</b>	<b>544</b>	<b>408</b>	<b>138</b>	<b>168</b>
C880 Waldenstrom macroglobulinemia	141	50	35	40	15	8
C883 Immunoproliferative small intestinal disease	1	0	0	0	0	1
C900 Multiple myeloma	1707	762	479	358	120	149
C901 Plasma cell leukemia	10	3	4	2	0	1
C902 Extramedullary plasmacytoma	77	39	26	8	3	9
	1345	642	436	235	77	119
<b>27.00 'Leukemia (C91-95)'</b>						
C910 Acute lymphoblastic leukemia	386	241	117	38	4	8
C911 Chronic lymphocytic leukemia of B-cell type	1371	481	491	292	120	49
C913 Prolymphocytic leukemia of B-cell type	17	4	6	6	1	0
C914 Hairy cell leukemia	68	26	21	19	4	1
C915 Adult T-cell lymphoma/leukemia (HTLV-1-associated)	12	4	4	4	0	0
C919 Lymphoid leukemia, unspecified	32	17	5	0	3	7
C920 Acute myeloblastic leukemia,	711	337	248	132	29	7
C921 Chronic myeloid leukemia, BCR/ABL-positive,	499	220	160	90	33	8
C923 Myeloid sarcoma,	5	0	5	0	0	0
C924 Acute promyelocytic leukemia,	129	89	20	31	2	1
C925 Acute myelomonocytic leukemia,	50	24	19	9	2	0
C929 Myeloid leukemia, unspecified,	30	6	14	4	1	6
C930 Acute monoblastic/monocytic leukemia,	62	28	22	14	3	0
C942 Acute megakaryoblastic leukemia	6	1	3	3	0	0
C944 Acute panmyelosis with myelofibrosis	3	3	0	1	0	0
C950 Acute leukemia of unspecified cell type	165	54	40	48	13	16
C959 Leukemia, unspecified	180	17	10	7	1	146
<b>Total</b>	<b>11200</b>	<b>5033</b>	<b>3351</b>	<b>2149</b>	<b>671</b>	<b>987</b>

\*La suma de las filas puede ser mayor al número de casos, ya que algunos casos son tratados en más de un centro.

Morfologías de los casos registrados en Bizkaia según CIE-10. "Síndromes neoplásicos" hematológicos. 2003-2013.

Morfología	Núm. Casos	Cruces	Basurto	Galdakao	San Eloy	Otros
D45 Polycythemia vera	173	63	48	35	17	10
D460 Refractory anemia without ring sideroblasts, so stated	108	22	44	25	17	1
D461 Refractory anemia with ring sideroblasts	86	37	20	15	15	1
D462 Refractory anemia with excess of blasts	133	54	49	24	13	4
D463 Refractory anaemia with excess of blasts with transformation	5	1	1	1	2	1
D467 Refractory anemia, unspecified	202	62	60	17	70	2
D469 Myelodysplastic syndrome, unspecified	228	51	103	38	24	17
D471 Chronic myeloproliferative disease	120	37	48	22	14	2
D473 Essential (hemorrhagic) thrombocythemia	351	128	110	67	45	6
D479 Neoplasm of uncertain behavior of lymphoid, hematopoietic and related tissue, unspecified	7	0	2	4	0	1
<b>Total</b>	<b>1413</b>	<b>455</b>	<b>485</b>	<b>248</b>	<b>217</b>	<b>45</b>

\*La suma de las filas puede ser mayor al número de casos, ya que algunos casos son tratados en más de un centro.

## Morfologías de los casos registrados en Bizkaia según CIE -O-3. 1986-2013.

Morfología	Núm. Casos	Cruces	Basurto	Galdakao	San Eloy	Beste
<b>959 Linfomas malignos, SAI o difusos</b>	<b>751</b>	<b>290</b>	<b>171</b>	<b>150</b>	<b>43</b>	<b>143</b>
95903 Malignant lymphoma, NOS	350	147	49	46	28	97
95913 Malignant lymphoma, non-Hodgkin, NOS	400	142	122	104	15	46
95963 Composite Hodgkin and non-Hodgkin lymphoma	1	1	0	0	0	0
<b>965-966 Linfomas Hodgkin</b>	<b>968</b>	<b>546</b>	<b>300</b>	<b>169</b>	<b>45</b>	<b>79</b>
96503 Malignant lymphoma, Hodgkin	95	46	28	18	6	11
96513 Hodgkin lymphoma, lymphocyte-rich	56	29	20	7	2	6
96523 Hodgkin lymphoma, mixed cellularity, NOS	268	137	106	30	12	19
96533 Hodgkin lymphoma, lymphocyte depletion, NOS	44	21	20	6	1	2
96543 Hodgkin lymphoma, lymphocyte depletion, diffuse fibrosis	2	0	1	0	0	1
96553 Hodgkin lymphoma, lymphocyte depletion, reticular	7	2	2	3	0	1
96593 Hodgkin lymphoma, nodular lymphocyte predominance	31	22	8	4	1	1
96633 Hodgkin lymphoma, nodular sclerosis, NOS	384	242	97	81	22	29
96643 Hodgkin lymphoma, nodular sclerosis, cellular phase	10	4	2	3	0	2
96653 Hodgkin lymphoma, nodular sclerosis, grade 1	62	37	15	15	0	7
96673 Hodgkin lymphoma, nodular sclerosis, grade 2	9	6	1	2	1	0
<b>967-969 Linfomas de cél. B maduras</b>	<b>3302</b>	<b>1516</b>	<b>1009</b>	<b>612</b>	<b>204</b>	<b>324</b>
96703 Malignant lymphoma, small B lymphocytic, NOS	250	95	79	48	20	30
96713 Malignant lymphoma, lymphoplasmacytic	102	39	25	27	3	15
96733 Mantle cell lymphoma	194	92	46	46	10	20
96753 Malignant lymphoma, mixed small and large cell, diffuse	98	50	16	16	4	17
96793 Mediastinal (thymic) large B-cell lymphoma (C38.3)	13	6	7	0	0	1
96803 Malignant lymphoma, large B-cell, diffuse, NOS	1197	576	386	209	72	105
96843 Malignant lymphoma, large B-cell, diffuse, immunoblastic, NOS	146	65	48	25	5	14
96873 Burkitt lymphoma, NOS	97	63	21	15	2	3
96883 T-cell rich large B-cell lymphoma	3	2	1	0	1	0
96893 Splenic marginal zone B-cell lymphoma (C42.2)	75	24	23	17	12	5
96903 Follicular lymphoma, NOS	315	122	100	62	25	34
96913 Follicular lymphoma, grade 2	126	60	29	29	9	14
96953 Follicular lymphoma, grade 1	267	123	104	33	15	25
96983 Follicular lymphoma, grade 3	130	68	32	25	7	14
96993 Marginal zone B-cell lymphoma, NOS	289	131	92	60	19	27
<b>970-971 Linfomas de cél. T maduras y NK</b>	<b>440</b>	<b>233</b>	<b>124</b>	<b>94</b>	<b>20</b>	<b>20</b>
97003 Mycosis fungoides (C44._)	156	90	45	33	0	3
97013 Sezary syndrome	24	17	3	4	2	0
97023 Mature T-cell lymphoma, NOS	95	55	19	17	11	6
97053 Angioimmunoblastic T-cell lymphoma	29	11	2	15	3	2
97083 Subcutaneous panniculitis-like T-cell lymphoma	3	3	0	0	0	0
97093 Cutaneous T-cell lymphoma, NOS (C44._)	41	20	15	6	0	4
97143 Anaplastic large cell lymphoma, T cell and Null cell type	49	25	22	7	2	2
97163 Hepatosplenic T-cell lymphoma	3	1	2	0	0	0
97173 Intestinal T-cell lymphoma	6	2	1	3	0	0
97183 Primary cutaneous CD30+ T-cell lymphoproliferative disorder	29	7	13	7	1	3
97193 NK/T-cell lymphoma, nasal and nasal-type	5	2	2	2	1	0
<b>972 Linfomas linfoblásticos de cél. precursoras</b>	<b>27</b>	<b>16</b>	<b>5</b>	<b>4</b>	<b>2</b>	<b>3</b>
97273 Precursor cell lymphoblastic lymphoma	16	9	1	3	2	3
97283 Precursor B-cell lymphoblastic lymphoma	3	1	2	0	0	0
97293 Precursor T-cell lymphoblastic lymphoma	8	6	2	1	0	0
<b>973 Tumores de cél. plasmáticas</b>	<b>1795</b>	<b>805</b>	<b>510</b>	<b>367</b>	<b>123</b>	<b>159</b>
97313 Plasmacytoma, NOS	47	22	17	5	1	7
97323 Multiple myeloma (C42.1)	1707	762	479	358	120	149
97333 Plasma cell leukemia (C42.1)	10	3	4	2	0	1
97343 Plasmacytoma, extramedullary (not occurring in bone)	31	18	10	2	2	2
<b>974 Tumores de mastocitos</b>	<b>22</b>	<b>8</b>	<b>5</b>	<b>8</b>	<b>2</b>	<b>0</b>
97413 Malignant mastocytosis	22	8	5	8	2	0
<b>975 Neoplasias de histiocitos y cél. Linfoides accesorias</b>	<b>26</b>	<b>16</b>	<b>7</b>	<b>7</b>	<b>1</b>	<b>1</b>
97503 Malignant histiocytosis	9	7	2	1	0	0
97513 Langerhans cell histiocytosis, NOS	3	1	0	3	0	0
97543 Langerhans cell histiocytosis, disseminated	9	4	4	1	0	1
97553 Histiocytic sarcoma	2	1	1	1	0	0
97583 Follicular dendritic cell sarcoma	3	3	0	1	1	0
<b>976 Enfermedades inmunoproliferativas</b>	<b>142</b>	<b>50</b>	<b>35</b>	<b>40</b>	<b>15</b>	<b>9</b>
97613 Waldenstrom macroglobulinemia (C42.0)	141	50	35	40	15	8
97643 Immunoproliferative small intestinal disease (C17._)	1	0	0	0	0	1

Morfologías de los casos registrados en Bizkaia según CIE -O-3. 1986-2013.

<b>980 Leucemias, SAI</b>	<b>345</b>	<b>71</b>	<b>50</b>	<b>55</b>	<b>14</b>	<b>162</b>
98003 Leukemia, NOS	180	17	10	7	1	146
98013 Acute leukemia, NOS	156	49	37	47	13	16
98053 Acute biphenotypic leukemia	9	5	3	1	0	0
<b>981-983 Leucemias linfoides C42.1</b>	<b>1818</b>	<b>747</b>	<b>623</b>	<b>340</b>	<b>128</b>	<b>64</b>
98203 Lymphoid leukemia, NOS	32	17	5	0	3	7
98233 B-cell lymphocytic leukemia/small lymphocytic lymphoma	1371	481	491	292	120	49
98263 Burkitt cell leukemia	21	11	7	3	2	2
98273 Adult T-cell leukemia/lymphoma (HTLV-1 positive)	6	1	3	2	0	0
98313 T-cell large granular lymphocytic leukemia	6	3	1	2	0	0
98323 Prolymphocytic leukemia, NOS	10	3	2	4	1	0
98333 Prolymphocytic leukemia, B-cell type	4	1	1	2	0	0
98343 Prolymphocytic leukemia, T-cell type	3	0	3	0	0	0
98353 Precursor cell lymphoblastic leukemia, NOS	309	216	71	25	2	6
98363 Precursor B-cell lymphoblastic leukemia	42	8	34	7	0	0
98373 Precursor T-cell lymphoblastic leukemia	14	6	5	3	0	0
<b>984-993 Leucemia mieloides</b>	<b>1346</b>	<b>656</b>	<b>421</b>	<b>271</b>	<b>54</b>	<b>21</b>
98403 Acute myeloid leukemia, M6 type	18	9	4	4	0	1
98603 Myeloid leukemia, NOS	30	6	14	4	1	6
98613 Acute myeloid leukemia, NOS	391	204	141	45	20	3
98633 Chronic myelocytic leukemia, NOS	290	160	64	55	12	7
98663 Acute promyelocytic leukaemia, t(15;17)(q22;q11-12)	129	89	20	31	2	1
98673 Acute myelomonocytic leukemia	50	24	19	9	2	0
98713 Acute myeloid leukemia with abnormal marrow eosinophils	6	2	2	2	0	0
98723 Acute myeloid leukemia, minimal differentiation	33	11	12	8	2	0
98733 Acute myeloid leukemia without maturation	62	22	15	22	4	2
98743 Acute myeloid leukemia with maturation	53	22	25	14	0	0
98753 Chronic myelogenous leukemia, BCR-ABL positive	47	2	23	20	3	0
98763 Atypical chronic myeloid leukemia, BCR/ABL negative	12	5	3	2	2	0
98913 Acute monocytic leukemia	62	28	22	14	3	0
98953 Acute myeloid leukemia with myelodysplasia-related changes	105	37	38	30	2	1
98963 Acute myeloid leukaemia, t(8;21)(q22;q22)	31	21	9	6	1	0
99103 Acute megakaryoblastic leukaemia	6	1	3	3	0	0
99203 Therapy related myeloid neoplasm	12	9	2	1	0	0
99303 Myeloid sarcoma	6	1	5	0	0	0
99313 Acute panmyelosis with myelofibrosis (C42.1)	3	3	0	1	0	0
<b>994 Otras leucemias</b>	<b>218</b>	<b>79</b>	<b>91</b>	<b>32</b>	<b>20</b>	<b>2</b>
99403 Hairy cell leukemia (C42.1)	68	26	21	19	4	1
99453 Chronic myelomonocytic leukemia, NOS	149	52	70	13	16	1
99463 Juvenile chronic myelomonocytic leukemia	1	1	0	0	0	0
<b>Total</b>	<b>11200</b>	<b>5033</b>	<b>3351</b>	<b>2149</b>	<b>671</b>	<b>987</b>

\*La suma de las filas puede ser mayor al número de casos, ya que algunos casos son tratados en más de un centro.

Morfologías de los casos registrados en Bizkaia según CIE -O-3. "Síndromes neoplásicos" hematológicos. 2003-2013.

Morfología	Núm. Casos	Cruces	Basurto	Galdakao	San Eloy	Beste
<b>995-996 Enfermedades mieloproliferativas crónicas</b>	<b>646</b>	<b>228</b>	<b>206</b>	<b>126</b>	<b>76</b>	<b>18</b>
99503 Polycythemia vera	173	63	48	35	17	10
99603 Myeloproliferative neoplasm, NOS	49	12	25	8	3	1
99613 Primary myelofibrosis	71	25	23	14	11	1
99623 Essential thrombocythemia	351	128	110	67	45	6
99633 Chronic neutrophilic leukemia	1	0	0	1	0	0
99643 Chronic eosinophilic leukemia, NOS	1	0	0	1	0	0
<b>997 Otras enfermedades hematológicas</b>	<b>5</b>	<b>0</b>	<b>2</b>	<b>2</b>	<b>0</b>	<b>1</b>
99701 Lymphoproliferative disorder, NOS	2	0	2	0	0	0
99753 Myeloproliferative neoplasm, unclassifiable	3	0	0	2	0	1
<b>998 Síndromes Mielodisplásicos</b>	<b>762</b>	<b>227</b>	<b>277</b>	<b>120</b>	<b>141</b>	<b>26</b>
99803 Refractory anemia	108	22	44	25	17	1
99823 Refractory anemia with sideroblasts	86	37	20	15	15	1
99833 Refractory anemia with excess blasts	133	54	49	24	13	4
99843 Refractory anemia with excess blasts in transformation [obs]	5	1	1	1	2	1
99853 Refractory cytopenia with multilineage dysplasia	166	48	47	8	69	1
99863 Myelodysplastic syndrome with 5q deletion (5q-) syndrome	27	11	12	5	1	0
99873 Therapy-related myelodysplastic syndrome, NOS	9	3	1	4	0	1
99893 Myelodysplastic syndrome, NOS	228	51	103	38	24	17
<b>Total</b>	<b>1413</b>	<b>455</b>	<b>485</b>	<b>248</b>	<b>217</b>	<b>45</b>

\*La suma de las filas puede ser mayor al número de casos, ya que algunos casos son tratados en más de un centro.